

случае естественно ожидать «близости» статистических характеристик движения на аттракторе и стохастическом множестве соответствующей гамильтоновой системы (По крайней мере на не слишком больших временах.) На рис. 4 представлены спектры мощности системы (1) при $\mu = 0$ и $\mu \geq 0,052$. Видно, что они близки (отличие в средней мощности порядка $10\% t/T \sim 10^4$).

В случае, когда при $\mu = \mu_2$ величина d_1 оказывается малой ($d_1 \ll 1$), как, например, для аттрактора системы (1) при $q=9,6$, $\Omega=2,04$ и $\mu_2=1,32$, свойства стохастичности в диссипативной и гамильтоновой системах резко отличаются*.

ЛИТЕРАТУРА

1. Арнольд В. И. — УМН, 1963, 18, вып. 6(119), с. 91.
2. Aubry S. — Physica D, 1983, 7, № 1—3, p. 240.
3. Chirikov B. V., Izrailev F. M., Shepelyansky D. I. — Soviet. Sci. Rev. Sect. C, 1981, 2, p. 209.
4. Афраймович В. С. Диссертация. Горький, Гос. ун-т, 1974.
5. Лукьянов В. И., Шильников Л. П. — ДАН СССР, 1978, 243, с. 26.
6. Izrailev F. M., Rabinovich M. I., Ugodnikov A. D. — Phys. Lett., 1981, 68A, p. 321.
7. Афраймович В. С., Рабинович М. И., Угодников А. Д. — Письма в ЖЭТФ, 1983, 38, вып. 2, с. 64.
8. Чириков Б. В., Шепелянский Д. Л. Препринт ИЯФ СО АН СССР № 83-149, Новосибирск, 1983.
9. Заславский Г. М., Рачко Х.-Р. Я. — ЖЭТФ, 1979, 76, с. 2052.

Институт прикладной физики
АН СССР

Поступила в редакцию
26 апреля 1984 г.

УДК 541.135

ЭКСПЕРИМЕНТАЛЬНОЕ ИССЛЕДОВАНИЕ ЭЛЕКТРИЧЕСКОГО ВОЗБУЖДЕНИЯ АКУСТИЧЕСКИХ ВОЛН В РАСТВОРЕ ЭЛЕКТРОЛИТА

А. Н. Малахов, В. В. Черепенников

1. В работе [1] описан эффект непосредственного возбуждения электрическим полем акустических волн в электролите, дан вывод волнового уравнения и приведен расчет амплитуды плоской акустической волны

В настоящей статье приводятся результаты экспериментального исследования электрического возбуждения акустических колебаний в растворе электролита в прямоугольном бассейне и сравнение экспериментальных данных с теоретическими.

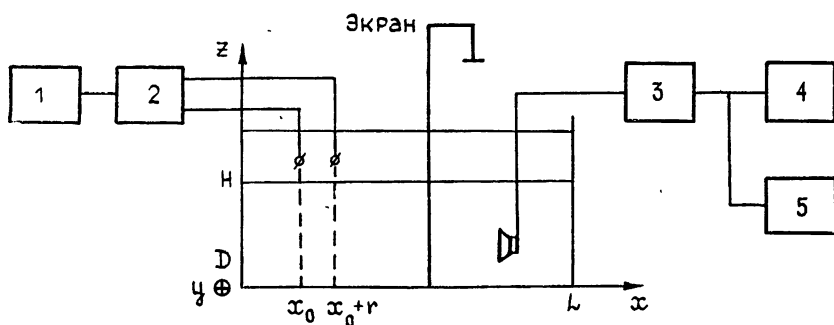


Рис. 1. Схема эксперимента: 1 — генератор ГЗ-35, 2 — усилитель мощности, 3 — усилитель гидрофона, 4 — вольтметр В7-17, 5 — осциллограф С8-13.

2. Схема эксперимента показана на рис. 1. Размеры бассейна $L=118$ см, $D=30$ см, глубина заливки $H=17$ см. В качестве электролита для эксперимента был выбран раствор NaCl. Излучателем служили металлические сетки из стальной прово-

* О связи и отличиях функций корреляции в диссипативной и гамильтоновых системах см. [8, 9].

локи диаметром 0,3 мм с ячейкой 2,5×2,5 мм размерами 20×30 см, расположенные параллельно торцовой грани бассейна. Источником электрических колебаний являлся транзисторный усилитель мощности $N_{\text{вых}}=150 \text{ Вт}$ ($\Delta f=20 \text{ Гц} \div 100 \text{ кГц}$), на вход которого поступал сигнал с генератора синусоидальных колебаний ГЗ-35. В качестве приемника колебаний давления возбуждаемой волны использовался сферический пьезокерамический гидрофон (ЦТС-19) с частотой резонанса 55 кГц. Гидрофон был откалиброван методом сравнения с гидрофоном Туре 8103 фирмы «Grüel and Kjaerg». Напряжение, развиваемое гидрофоном при воздействии на него волны давления, усиливалось и подавалось на измерительный прибор (В7-17) для измерения давления, и на осциллограф С8-13 для визуальной регистрации. Во всех экспериментах амплитуда регистрируемого сигнала существенно превышала уровень шумов и наводок. Электрическая наводка, возникающая вследствие гальванической связи источника и приемника, устранялась введением заземленного металлического экрана (латунь толщиной 0,1 мм), расположенного параллельно излучающим сеткам. Введение экрана в любом месте бассейна между излучателем и гидрофоном практически не изменяло ни структуры акустических мод, ни их амплитуды.

3. Аналог уравнения (4) статьи [1] для потенциала колебательной скорости $\Phi(r, t)$ имеет вид

$$\frac{1}{c^2} \frac{\partial^2 \Phi}{\partial t^2} - \Delta \Phi + \frac{\alpha}{c^2 \rho_0} \frac{\partial^2 \varphi}{\partial t^2} = 0, \quad (1)$$

где $\nabla \varphi(r, t) = -E$, c — скорость звука, $\alpha = \bar{n}e(v_i - v_e)/v_i v_e$, v_i , v_e — эффективные частоты соударений ионов сорта i и e соответственно с молекулами растворителя, \bar{n} — средняя концентрация ионов, e — заряд электрона. Параметр \bar{n} может быть выражен через молярную концентрацию $C_{\text{Насл}} \text{ моль/л}$, $\bar{n} = C_{\text{Насл}} A/1000 \text{ см}^{-3}$, A — число Авогадро.

Решение уравнения (1) для прямоугольного бассейна размером $L \times D \times H$ при нулевых начальных условиях, жестких границах и свободной поверхности, полученное методом Фурье, имеет вид

$$\Phi(x, y, z, t) = \sum_{l, d, h} C_{l, d, h} \cos \frac{\pi l}{L} x \cos \frac{\pi d}{D} y \cos \frac{\pi(2h-1)}{2H} z T(t),$$

где $T(t)$ описывает временную зависимость. Коэффициенты $C_{l, d, h}$, определяющие вес каждой моды возбужденных акустических колебаний, зависят от конфигурации поля E и находятся из разложения $\varphi(x, y, z, t)$ по собственным функциям волновой задачи с указанными краевыми условиями. В эксперименте рассматривалось

$$\varphi(x, y, z, t) = e^{i\omega t} \begin{cases} 0, & 0 \leq x \leq x_0 \\ E(x - x_0), & x_0 \leq x \leq x_0 + r \\ Er, & x_0 + r \leq x \leq L \end{cases}$$

$\omega = 2\pi f$ — циклическая частота. В этом случае

$$\Phi(x, y, z, t) = \frac{\alpha \omega^2 E L}{\pi^3 \rho_0} e^{i\omega t} \sum_{l, h=1}^{\infty} \frac{(-1)^h \gamma_l (\omega^2 - \omega_{l,0,h}^2 - i\omega \omega_{l,0,h}^2 \beta)}{l^2 (2h-1) [(\omega^2 - \omega_{l,0,h}^2)^2 + \omega^4 \omega_{l,0,h}^2 \beta^2]} \times \\ \times \cos \frac{\pi l}{L} x \cos \frac{\pi(2h-1)}{2H} z, \quad (2)$$

где

$$\gamma_l(r, x_0) = 32 \sin \frac{\pi r l}{2L} \sin \frac{\pi l(2x_0 + r)}{2L}, \quad \omega_{l,0,h}^2 = c^2 \pi^2 [l^2/L^2 + (2h-1)^2/4H^2], \quad (3)$$

$\omega_{l,0,h}^2$ — квадраты собственных частот бассейна. Коэффициент β , определяющий затухание, позволяет учесть потери при отражении от стенок бассейна. Расчет коэффициента β для экспериментального бассейна со стенками из оргстекла указанных размеров $L \times D \times H$ проводился на основе литературных данных [2,3].

Можно и экспериментально оценить величину β , исследуя зависимость амплитуды давления возбуждаемой моды от частотной расстройки. Рассматривая $\omega = \omega_{l,0,h} + \Delta\omega$, где $\Delta\omega \ll \omega_{l,0,h}$, и вводя $\Delta\omega_{1/2}$ — расстройку на уровне половинной амплитуды, из (2) получим

$$\beta = \omega_{l,0,h}^{-1} (\Delta\omega_{1/2}/\omega_{l,0,h}).$$

4. Перейдем к рассмотрению экспериментальных данных. В соответствии с выражением (2) амплитуда потенциала колебательной скорости $\Phi(r, t)$, а с ним и давления $P(r, t) = -\rho_0 \partial \Phi(r, t) / \partial t$ пропорциональна амплитуде электрического поля E

и средней концентрации ионов \bar{n} . В эксперименте проверялась зависимость амплитуды давления моды, возбуждаемой акустической волной, от амплитуды электрического поля (рис. 2) и от концентрации электролита (рис. 3). Измерения проводились на частотах $f_{9,0,1} = 6,3$ кГц и $f_{10,0,1} = 6,8$ кГц, соответствующих возбуждаемым модам 9, 0, 1 и 10, 0, 1. Из выражения для собственных частот (3) легко видеть, что при этих частотах моды 9, 0, 1 и 10, 0, 1 являются единственными. Зависимость давления от вертикальной координаты $P(z)$ для этих мод совпадала с теоретической (рис. 4).

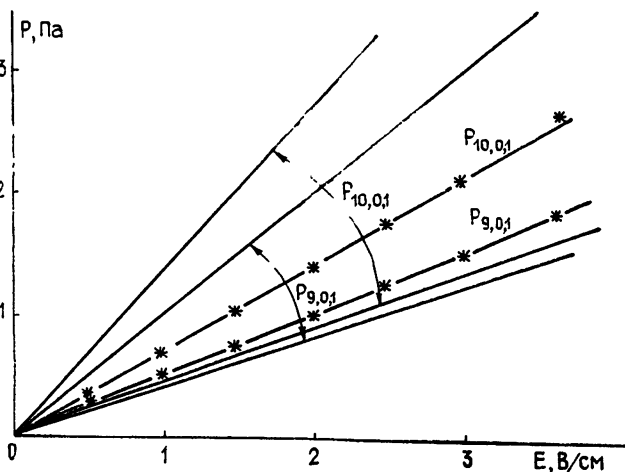


Рис. 2. Зависимость $P_{9,0,1}(E)$ и $P_{10,0,1}(E)$, $C_{NaCl} = 0,1$ моль/л.

Исследование зависимости $P_{9,0,1}(E)$ и $P_{10,0,1}(E)$ проводилось при $x_0 = 10,2$ см, $r = 4$ см. Гидрофон размещался в пучности волны давления, в непосредственной близости от дна бассейна. Концентрация электролита в этих экспериментах составляла $C_{NaCl} = 0,1$ моль/л, что соответствовало $\bar{n} = 6 \cdot 10^{19}$ см $^{-3}$.

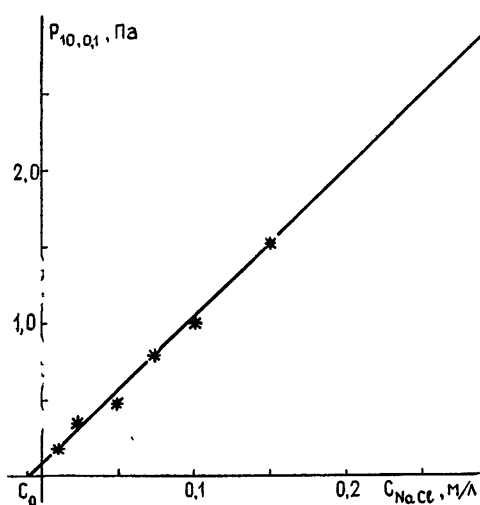


Рис. 3.

Рис. 3. Зависимость $P_{10,0,1}(C_{NaCl})$, $E = 2$ В/см = const.

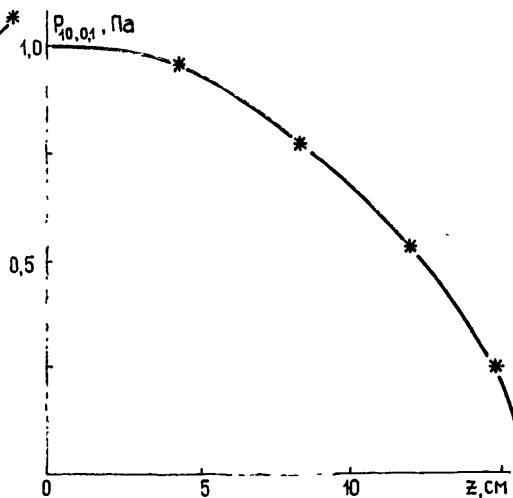


Рис. 4.

Рис. 4. Зависимость $P_{10,0,1}(z)$, $E = 2$ В/см, $C_{NaCl} = 0,1$ моль/л.

Наиболее сложной является теоретическая оценка α . Параметры ρ_e , ρ_i , V_e , V_i — удельная плотность и объемы ионов сорта e и i , определяющие эффективные частоты соударений ν_e и ν_i , находились из справочных данных [4,5]:

$$\rho_i = \bar{n}(m_{Na} + K_{Na} m_{H_2O}),$$

где \bar{n} — концентрация ионов, m_{Na} — масса иона, m_{H_2O} — масса молекулы воды, K_{Na} — гидратационное число Na^+ .

Согласно справочным данным значение гидратационного числа сильно варьирует: $K_{Na} = 2 \div 7$, что дает изменение α в 2—3 раза. Учитывая этот разброс, теоретическая зависимость $P_{9,0,1}(E)$, $P_{10,0,1}(E)$ задается (на рис. 2) соответствующими секторами. Расчет β для мод колебаний 9, 0, 1 и 10, 0, 1 дает $\beta \cong 2 \cdot 10^{-8}$ с [2]. Оценка β по расстройке на уровне половинной амплитуды дает $\beta_{расп} = 4 \cdot 10^{-8}$ с. Экспериментальные данные $P_{9,0,1}(E)$ и $P_{10,0,1}(E)$ нанесены точками. Предсказываемая теоретическая линейность $P(E)$ выполняется с довольно высокой степенью точности. Совпадение теоретически рассчитанных и экспериментально наблюдаемых величин давления вполне удовлетворительно.

Зависимость $P(C_{NaCl})$ при $E = 2$ В/см = const исследовалась при прежних расположении и размерах излучающих сеток для мод 10, 0, 1. В диапазоне концентраций $C_{NaCl} = (0,005 \div 0,3)$ моль/л зависимость $P(C_{NaCl})$ линейна. Аппроксимация экспериментальных данных при $P_{10,0,1} \rightarrow 0$ дает $C_{NaCl} = -0,005$ моль/л. Это отрицательное значение объясняется тем, что для заливки использовалась водопроводная вода, уже содержащая растворенные соли, и поэтому можно считать, что $C_{NaCl} = 0$ с точностью до содержания диссоциированных солей в водопроводной воде. В частности, вода, использованная для заливки, имеет $C_0 = 0,005$ моль/л, что эквивалентно растворению 0,3 г NaCl в одном литре воды.

В заключение считаем необходимым отметить, что использование подобного излучателя представляется нам весьма перспективным для создания эталонных гидроакустических полей, которые могут быть использованы, в частности, для градуировки гидроакустических датчиков.

ЛИТЕРАТУРА

1. Малахов А. Н., Черепенников В. В. — Изв. вузов — Радиофизика, 1983, 26, № 2, с. 1251.
2. Лайтхилл Дж. Волны в жидкостях. — М.: Мир, 1977.
3. Клей К., Медвин Г. Акустическая океанография. — М.: Мир, 1980.
4. Измайлов Н. А. Электрохимия растворов. — М.: Химия, 1976.
5. Сухотин А. М. Справочник по электрохимии. — М.: Химия, 1981.

Горьковский государственный
университет

Поступила в редакцию
14 июля 1983 г.;
з окончательном варианте
14 марта 1984 г.

В статье Н. И. Даниловича «Формирование ионного потока в многоапертурном ионном источнике» (Радиофизика, 1984, № 8, с. 1056—1063) по вине автора допущены следующие опечатки.

Рис. 3а следует рассматривать как рис. 3б, соответственно рис. 3б — как рис. 3а (с. 1060).

Расположенные в верхней левой части рис. 4 (с. 1061) зависимости профиля распределения ионного тока МИИ типа «Millatron» (которые фигурируют в тексте как кривые рис. 4б) пронумерованы в подписи к рис. 4 как кривые 8 (пунктир) и 9. На основном рисунке (который следует рассматривать как рис. 4а) нумерация кривых идет сверху вниз, причем максимальные значения тока для них соответственно равны 2,4, 1,65, 1; 1; 0,8; 0,29; 0,15.

По оси абсцисс рис. 6 (с. 1063) вместо V_y , B следует читать — V_y , B ; в первой строке подписи к рисунку вместо «... плотности ионного тока J_{max} в цепи.» следует читать «... плотности ионного тока J , тока в цепи...».

Редакция приносит свои извинения читателям журнала и, пользуясь случаем, напоминает авторам о необходимости соблюдения правил оформления рукописей.

Редакция